



NİĞDE MASİFİ METALİK CEVHERLEŞMELERİNİN MİNERALOJİSİ VE JEOKİMYASI

Sinan ALTUNCU¹ (ORCID:0000-0002-0863-4169) *

Ali TÜMÜKLÜ¹ (ORCID:0000-0003-1215-8748)

F. Zafer ÖZGÜR¹ (ORCID:0000-0002-2584-8687)

¹Niğde Ömer Halisdemir Üniversitesi, Mühendislik Fakültesi, Jeoloji Mühendisliği Bölümü, 51240, Niğde

Geliş / Received: 15.11.2018

Kabul / Accepted: 20.12.2018

ÖZ

Niğde masifi, magmatik ve metamorfik kayaçlardan oluşan Orta Anadolu Kristalın Kompleksi' nin (OAKK) en güney ucunda yer almaktadır. İnceleme alanında Niğde Grubu' na ait formasyonlar; genellikle gnays ve mermerden oluşan Gümüşler formasyonu, mermer, gnays ve amfibolitten oluşan Kaleboynu formasyonu, mermer, gnays ve amfibolitten oluşan Aşigedigi formasyonu, Sineksizayla metagabrosu ve Üçkapılı granitoididir. Sineksizayla metagabrosu Gümüşler ve kısmen Kaleboynu formasyonlarına sokulum yapmıştır. Üçkapılı granitoid ise bütün diğer formasyonları kesmektedir. Niğde masifi Erken Pliyosen yaşlı İncesu ignimbiriti ve Kuvaterner yaşlı altıvyonlarla örtülülmüştür. Niğde Masifi içerisinde yer alan demir cevherleşmeleri hidrotermal olarak damar, damarcık ve cep dolgusu şeklinde mermer ve sıştlerin içerisinde yer almaktadır. Bu demir cevherleşmeleri yer yer (Armutbeli) yüzeye kadar çıkararak düzensiz yığınlar şeklinde yerleşmiştir. Cevherleşmelerin mikroskobik incelemelerinde 3 ayrı özellik taşıdıkları gözlenmiştir. Bunlar:

- 1- İşınsal, iğnemsi ve çubuksu yapılarda lepidokrokitler,
- 2- Üzümsü yapılı (kel kafa) ve ritmik ardalanmalı yapılar içeren götitler,
- 3- Bu FeO'leri damar ve damarcıklar şeklinde kesen pirit, kalkopirit (malahit) ve çok az miktarda nabit Cu ve Au içeren cevherler olarak tespit edilmiştir.

Jeokimyasal incelemelerde Niğde Masifi içerisinde görülen demir cevherlerine ait 15 adet örnekte Fe_2O_3 değerleri % 15,49-% 96,88 arasında olup ortalama % 66,28, Pb değerleri 7 adet örnekte % 1,42-% 10 arasında ortalama % 4,09, Zn değerleri 7 adet örnekte % 0,43-% 30,18 arasında ortalama % 13,49, Sb değerleri 2 adet örnekte %28,44-% 31,45 arasında ortalama % 29,95'tir.

Anahtar kelimeler: Niğde Masifi, Üçkapılı Granitoidi, Demir, Kurşun-Çinko, Hidrotermal

MINERALOGY AND GEOCHEMISTRY OF NİĞDE MASSIF METALLIC MINERALIZATIONS

ABSTRACT

Nigde Massif is the southwest part of the CACC (Central Anatolian Crystalline Complex) which is composed of magmatic and metamorphic rocks. In the study area, formations of Nigde Group are Gümüşler Formation which is composed mainly of gneiss and marble, Kaleboynu Formation which is composed of marble, gneiss and amphibolite, Asigedigi Formation which is composed of marble, gneiss and amphibolite, Sineksizayla Metagabbro and Uckapılı Granitoid. Sineksizayla Metagabbro intrude the Gümüşler and partly Kaleboynu Formations. Uckapılı Granitoid cuts all the other units. Nigde Massif is covered by Early Pliocene İncesu Ignimbrite and Quaternary alluvium. Hydrothermal iron mineralizations located in the Nigde Massif are in the form of veins, veinlets and pocket filler in the marbles and schists. These iron mineralizations have settled as

*Corresponding author / Sorumlu yazar. Tel.: +90 533 655 80 88; e-mail:saltuncu@ohu.edu.tr

chimneys, rising to the surface in some places (Armutbeli). It is observed in the microscopic investigations that mineralizations show 3 separate features. These are:

- 1- Lepidocrocites having radial, needle-like and fibrous structures,
- 2- Aciniform goethites showing rhythmic alternation structures,
- 3- Pyrite, chalcopyrite (malachite) and ores containing small amounts of native Cu and Au cutting these FeO minerals as veins and droplets.

In geochemical investigations, Fe₂O₃ values of 15 iron ore samples in the Niğde Massif were found between 15.49% and 96.88% (average 66.28%), and Pb values were between 1.42% and 10% in 7 samples (average 4.09%), Zn values were between 0.43% -30.18% in 7 samples (average 13.49%), Sb values were 28.44% -31.45% in 2 samples (average 29.95%).

Keywords: Niğde Massif, Üçkapılı Granitoid, Iron, Lead-Zinc, Hydrothermal.

1. GİRİŞ

Bu çalışmada Niğde Masifini oluşturan Gümüşler, Kaleboynu ve Aşigedigi formasyonları içerisinde yer alan Demir, Kurşun-Çinko, Antimuan ve Altın yatak ve cevherleşmeler incelenmiştir. Niğde Masifi, Orta Anadolu'daki iç-Torid sütürüne yakın izole bir kristalin domdur ve kuzeydeki Kırşehir ve Akdağ Masifi'ni içeren Orta Anadolu Kristal Kompleksinin en güney bölümünü temsil eder. Doğu, Ecemiş Fayı (Tersiyer) ve güneyde Ulukışla sedimanter havzası tarafından sınırlanmıştır. Cevherleşmelerin jeolojik ve mineralojik özelliklerinin incelenmesi amaçlanmıştır. Bu amaçla saha çalışmalarından derlenen cevher örnekleri, bölgede cevherleşmelerin görüldüğü yerlerdeki oacaklardan ve mostralardan derlenmiş ve ana kayaç ilişkileri incelenmiştir.

1.1. Genel Jeoloji

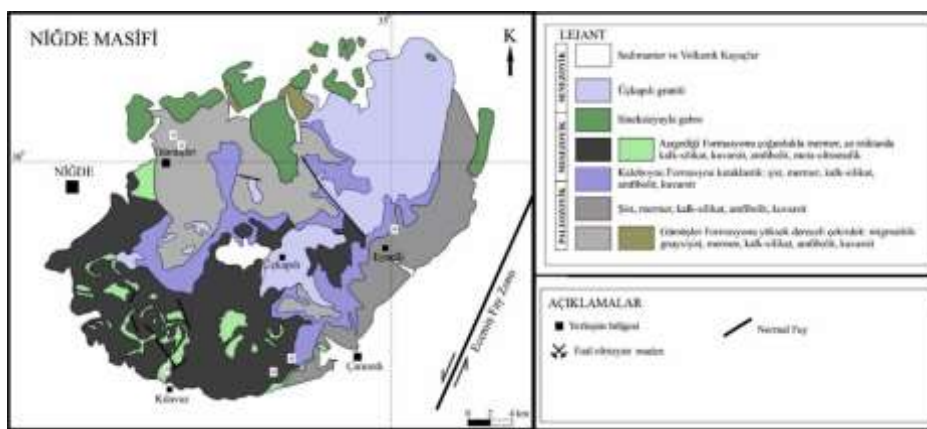
Orta Anadolu Kristalin Kompleksi'nin güney ucunda yer alan Niğde masifi, temel olarak üst amfibolit fasiyesi metamorfizmasına sahip yüksek dereceli metasedimanter kayaçlarından (migmatit dahil) oluşan bir çekirdeğin oluşturduğu yapısal bir domdur [4,5]. Bu temel kayaçlar stratigrafik olarak yaşıdan gence doğru, Gümüşler Formasyonu, Kaleboynu Formasyonu ve Aşigedigi Formasyonu'dur. Yerel stratigrafi, çoğunlukla gnays, amfibolit, mermere ve kuvarsitlerden oluşan Paleozoyik Gümüşler Formasyonu ile başlar. Geç Kretase öncesi dönemde, Sineksizıyla metagabrosu, Gümüşler Formasyonu içine girmiştir. Birim, muhtemelen Üçkapılı Granitoidinin yerleşimi sırasında, Niğde Grubu kayaları ile birlikte deformasyon ve metamorfizmaya uğramıştır. Kaleboynu Formasyonu, kuvarsit, gnays ve amfibolit ardalanmaları ile mermere baskındır. Niğde Masifinin neredeyse yarısını kaplayan Aşigedigi Formasyonu, esas olarak gnays, kuvarsit ve amfibolit arakatkılı mermelerden oluşmaktadır İncesu İgnimbriti, Niğde Masifi'nin tüm birimlerini uyumsuz olarak örter ve Kuvaterner alüvyonları tarafından örtülürler [1,3] (Şekil 1).

2. MATERİYAL ve METOT

Bu çalışma kapsamında Niğde Masifi içerisinde yer alan metalik cevherleşmeler (Demir, Kurşun-Çinko, Bakır, Antimuan ve Altın) konu edilmiştir. Çalışma konusu kapsamında derlenen örnekler bölgedeki eski işaretmeler ve mostralardan notusal yöntemlerle alınmıştır. Örneklerden 23 adet ACME labaratuvarında ICP-MS kimyasal analiz, 20 adet örnek Niğde Ömer Halisdemir Üniversitesi Mühendislik Fakültesi Jeoloji Bölümünde cevher mikroskopisi incelemesi yapılmıştır.

Niğde Masifi, çeşitli metamorfik temel kayaçlarından oluşmaktadır. Bu temel kayaçlar, alttan üste Gümüşler Formasyonu, Kaleboynu Formasyonu ve Aşigedigi Formasyonu'nu oluşturur. Bu kayaçlar [2] tarafından Sineksizıyla Metagabro adı verilen gabroik bileşimli bazik kayaçlar tarafından kesilmiştir. Bütün bu birimler Üçkapılı Granitoidi ve bunun geç evre bileşenleri tarafından kesilmiştir. İncesu İgnimbriti, Niğde Masifi'nin tüm birimlerini uyumsuz olarak örter ve Kuvaterner alüvyonları tarafından örtülüdür.

NİĞDE MASİFİ METALİK CEVHERLEŞMELERİNİN MİNERALOJİSİ VE JEOKİMYASI



Şekil 1. Çalışma alanı genel jeoloji haritası [5]

3. BULGULAR ve TARTIŞMA

Elmaderesi Fe cevherleşmesi Aşağıdagi Formasyonuna ait mermelerin süreksizlik zonundadır. Demir cevherleşmesinin üst kontağında yer yer kaolinleşmeler yaygındır (Şekil 2a). Eynelli Fe cevherleşmesi ise Gümüşler formasyonu içerisinde süreksizlik zonundadır (Şekil 2b). Cevherli zon yüzeyde yaklaşık 100 m kalınlığa sahiptir. Cevherleşme içerisinde boşluklar oldukça yoğun olarak görülmektedir. Bu boşlukların çapları cm ölçüğinden 3-5 m'ye kadar çıkabilmektedir.

Armutbeli demir yatağı Çamardı ilçesi ve Celaller köyü arasında görülen Aşağıdagi mermelerinin kontakt kesiminde yer alır. Cevherleşme etrafında hidrotermal oluşuma işaret eden barit mineralleşmesi bulunmaktadır (Şekil 2c). Buradaki baritler dike yakın konumlu ve yaklaşık 1 m kalınlık sunmaktadır. Tandırlı Sırtı mevkiinde Kaleboynu Formasyonunda yer alan mermelerin kırık-çatlak sistemlerinde damar-damarcık şeklinde Pb-Zn cevher oluşumları görülmektedir (Şekil 2f). Bu cevherleşmelerin bazıları dönem dönem işletilmiş olup maden yatağı özelliğindedir. Bazıları ise rezerv-tenör açısından yeterli olmamasından cevher bileşenlerindeki sıkıntıdan üretme geçilememiştir.



Şekil 2. Cevherleşmelerin arazi görünümleri (Açıklamalar metin içerisinde verilmiştir).

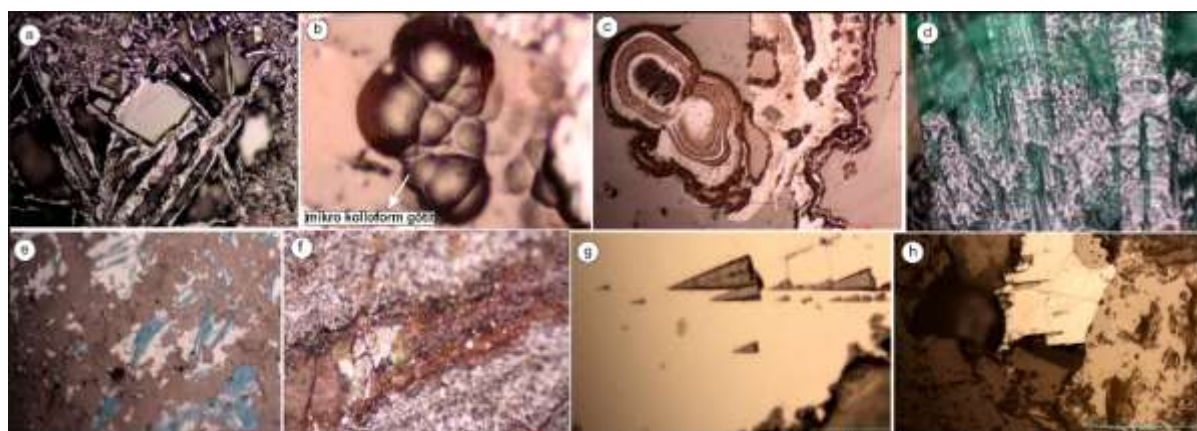
3.1. Mineraloji ve Petrografi

İnceleme alanındaki demir cevher mineralleri özşəkilli ve yarı özşəkilli olup masif yapıdadır. Cevherleşmede görülen ana cevher minerali hematit olup tali miktarda manyetit bulunmaktadır. Manyetit mineralinin kenarları boyunca martitleşmeler görülür, martitleşme sonucu manyettitler çubuksu hematite dönüşmüştür (Şekil 3a). Manyettilerin hematitleşmesi kısmi oksijen basıncının artmasını göstermektedir. Çubuksu hematitler (anizotrop) arasında kalıntı manyetitler (izotrop) gözlenebilmektedir. Götit mineralerinde Kolloform (yumrulu) yapısı yaygın olarak görülmektedir. Kolloform (yumrulu) yapıdaki götitler konsantrik kabukludur ve iç yapıları ise konsantrik ardalanmalıdır (Şekil 3b-c). Öz şəkilsiz limonit içerisinde kalkozin bakır cevher minerali düşük sıcaklıkta normal kalkozin (beyaz), orta sıcaklıktan lamelli hegzogonal yapıda (mavi) ve yüksek sıcaklıkta mürekkep mavisi renkte olanlar ise neodigenite dönüşmüştür. Malahitler çubugumsu yapıdadır (Şekil 3 d-e). Kırık ve çatlak dolgusu olarak

yerleşen ergiyikler içerisinde nabit (native) Au ve Cu oluşumları mevcuttur (Şekil 3 f) Tandırlı Sırtı Mevkiiinden alınan Pb-Zn örneklerinde yapılan cevher mikroskopisi çalışmalarında galenitörneğinde kama şeklinde boşluklar boyunca serüzit ve anglezit dönüşümler görülmektedir (Şekil 3 g-h).

3.2. Jeokimya

İnceleme alanından derlenen 23 adet numuneden ICP-MS yöntemi ile analizleri yapılmış olup, ana oksit ve iz element değerleri Tablo 1 ve Tablo 2'de verilmiştir. Elde edilen değerler incelendiğinde demir cevherleşmelerinin SiO_2 değerleri oldukça yüksek olduğu görülmektedir (SAZ7, SAZ18a-b, SAZ6, SAZ19 VE SAZ20). Ayrıca P_2O_5 değerlerinininde nispeten yüksek olduğu görülmektedir (SAZ6, SAZ7 ve SAZ19). Analiz sonuçlarında Gediz Yaylası ve Tandırlı sırtındaki ocaklılardan alınan numunelerde Pb, Zn ve Sb elementlerinin sonuçları limitlerin üzerinde çıkması nedeniyle bu elementlerin ilave ek analizlerle % değerleri tespit edilmiştir. Analiz sonuçlarından elde edilen iz element değerlerinden GY1 ve GY2 numaralı numuneler Gediz yayası mevkiiinden alınmış olup bunların Sb içeriği % olarak %28,44 ve % 31,45'dir. Ayrıca Tandırlı Sırtı mevkiinde alınan örneklerde de TS1 Pb= %3,39; Zn= %23,07; TS1A Pb=% 4,32; Zn=% 30,18; TS4 Pb= % 1,42 ve Zn=%26,62 değerleri saptanmıştır. İz element değerlerinden oluşturulan korelasyon matriksleri şekil 4 ve şekil 5'te verilmiştir.



Şekil 3. Cevher mikroskopi görüntüleri (a) Çubuklu hematitler (aniziotrop) arasında kalıntı manyetitler (izotrop) (b-c) Kolloform (yumuşu) yapıda götit minerali (d) Malahitler çubuğu yapıda (e) mürekkep mavisi renkte neodigenit (f) nabit (native) Au ve Cu (g) galenitörneğinde kama şeklinde boşluklar (h) Galen ve içerisinde fahlerz

4. SONUÇLAR

Cevherleşmeler, gerek arazi gözlemlerinde 0,5- 50 m arasında, gerekse mikroskopik görüntülere mm ölçüğine göre değişen kalınlıklarda damar, damarcık ve cep dolgusu şeklinde dir. Cevher damarları içerisinde bulunduğu formasyonların süreksizlik (tektonik ve tabaka sınırları) zonlarındadır. Manyetit, hematit, kalkopirit, nabit Au ve Cu, ana mineraler; Hematit, götit, limonit, dijenit, kovellin/kalkozin ve malahit ikincil mineralerdir. Pb-Zn cevherleşmelerinde ana mineral galen, sfalerit, pirit, fahlerz, nabit Cu'dır. İkincil olarak tespit edilen mineraler ise anglezit, serüzittir. Gerek arazi gözlemleri ve gerekse cevher mikroskop çalışmalarında bölgedeki cevherleşmenin hidrotermal süreçlerle ilişkili olduğu düşünülmektedir. Bölgenin özellikle ekonomik anlamda bakır ve altın için bir potansiyel olduğu söyleyenbilir. Ayrıca diğer cevherleşmelerle ilgili olarak ta potansiyel olarak tespit edilen yerlerde daha ayrıntılı bir jeolojik ve cevher zenginleştirme çalışmalarının yapılması öngörmektedir.

NİĞDE MASİFİ METALİK CEVHERLEŞMELERİNİN MİNERALOJİSİ VE JEOKİMYASI**Tablo 1.** Cevherlerin ana oksit değerleri

	SiO ₂	Al ₂ O ₃	Fe ₂ O ₃	MgO	CaO	Na ₂ O	K ₂ O	TiO ₂	P ₂ O ₅	MnO	Cr ₂ O ₃	TOT/C	TOT/S	LOI	Sum
	%	%	%	%	%	%	%	%	%	%	%	%	%	%	%
TS6	63,13	0,45	1,49	0,13	15,70	0,02	0,07	0,01	0,03	0,15	0,002	3,50	1,22	12,2	93,37
GY1	0,87	0,08	0,33	0,80	31,44	0,01	0,02	0,01	0,02	0,15	0,002	7,06	12,23	21,4	55,17
GY2	45,51	0,52	6,44	0,01	0,26	0,01	0,08	0,02	0,03	0,01	0,003	0,06	13,15	6,5	59,43
SAZ14	5,54	0,88	49,87	0,08	15,90	0,01	0,26	0,03	0,01	0,48	0,003	3,95	0,06	21,0	94,14
SAZ40	3,93	0,16	78,26	0,04	2,98	0,01	0,04	0,01	0,01	0,34	0,002	0,76	0,02	13,6	99,42
SAZ37	5,36	0,59	73,83	0,14	3,15	0,01	0,06	0,01	0,01	1,37	0,003	0,74	0,02	14,1	98,75
SAZ14A	3,52	0,01	58,88	0,01	1,36	0,01	0,01	0,01	0,03	0,23	0,007	1,80	0,16	16,8	80,87
SAZ14B	4,49	0,01	50,75	0,06	2,85	0,01	0,01	0,01	0,05	0,15	0,014	2,20	0,93	17,2	75,64
TS1	61,00	0,44	2,45	0,10	0,36	0,02	0,08	0,01	0,01	0,02	0,026	0,14	12,18	6,8	71,36
TS2	73,74	0,47	10,74	0,10	1,63	0,02	0,06	0,01	0,02	0,09	0,019	0,64	0,59	4,3	91,20
TS1A	47,51	0,35	1,45	0,10	0,22	0,02	0,06	0,01	0,01	0,01	0,022	0,12	15,63	8,3	58,09
TS4	61,00	0,92	1,38	0,11	0,38	0,04	0,18	0,04	0,02	0,04	0,009	0,66	0,05	6,3	70,39
TS5	75,67	0,54	1,84	0,06	1,77	0,02	0,09	0,01	0,04	0,04	0,030	1,08	0,81	4,7	84,78
SAZ10	14,33	0,47	76,17	0,01	0,22	0,01	0,06	0,02	0,02	0,01	0,042	0,10	0,03	8,3	99,68
SAZ8	3,30	0,26	84,42	0,01	0,27	0,01	0,04	0,01	0,01	0,01	0,024	0,12	0,04	10,1	98,44
SAZ7	19,43	0,05	62,18	0,01	0,76	0,01	0,01	0,01	0,14	0,03	0,011	0,35	0,08	11,9	94,47
SAZ6	6,03	3,09	71,15	0,18	2,70	0,05	0,16	0,07	0,31	0,02	0,020	0,50	0,09	16,0	99,83
SAZ18a	14,93	0,26	84,25	0,01	0,17	0,01	0,06	0,01	0,04	0,03	0,047	0,03	0,02	0,0	99,80
SAZ18b	41,09	0,10	57,56	0,01	0,12	0,01	0,01	0,01	0,01	0,02	0,039	0,04	0,02	0,9	99,86
SAZ28	1,24	0,37	96,88	0,01	0,58	0,01	0,07	0,01	0,05	0,02	0,052	0,11	0,02	0,5	99,74
SAZ26	21,13	0,47	75,41	0,01	1,18	0,01	0,10	0,06	0,06	0,08	0,040	0,26	0,02	1,2	99,76
SAZ19	38,08	0,29	59,09	0,01	0,58	0,01	0,02	0,02	0,09	0,01	0,057	0,11	0,02	1,7	99,92
SAZ20	78,01	2,79	15,49	0,15	0,71	0,02	0,98	0,08	0,02	0,02	0,047	0,17	0,02	1,6	99,91

Tablo 2. ICP-MS kimyasal analizinden elde edilen iz element değerleri

Ba	Sc	Be	Co	Cs	Ga	Hf	Nb	Rb	Sn	Sr	Ta	Th																			
TS6	23	1	6,3	0,3	0,5	0,1	1,6	2,7	1	116,2	0,1	0,2	0,9	8	0,7	2,7	0,1	170,2	10000,0	4122	5,7	5,1	31,7	2000,0	0,1	40,4	16,0	13,91	0,1	0,5	
GY1	131	1	0,5	0,1	0,5	0,1	1,0	0,4	10	74,3	0,1	0,2	1,1	17	0,5	1,7	0,1	12,2	56,5	1212	0,4	0,5	7,1	1888,3	0,1	17,6	313,6	7,72	0,1	0,5	
GY2	162	1	0,9	0,1	0,5	0,1	0,8	2,9	5	11,1	0,1	0,3	0,7	13	7,5	5,5	0,1	6,8	0,2	20	10,3	2,0	0,3	3,7	46,3	0,99	0,1	0,5			
SAZ14	495	2	1	49,1	0,6	5,2	0,2	0,8	8,8	1	46,1	0,2	0,4	1,0	8	0,7	6,7	1,0	10000,0	379,4	1849	126,6	161,2	7,8	286,3	1,3	14,3	40,8	28,10	0,9	11,4
SAZ40	62	1	2	73,0	0,1	2,2	0,1	0,5	1,6	1	6,1	0,1	0,2	1,2	8	0,9	1,8	1,2	2743,1	93,6	721	159,6	301,9	2,6	130,2	0,1	1,0	87,1	4,64	0,3	0,5
SAZ37	1338	2	3	127,0	0,6	3,0	0,1	0,4	3,5	1	35,6	0,1	0,4	2,1	40	25,2	2,6	4,1	7519,9	180,0	872	221,7	855,3	1,9	265,7	0,1	1,8	10,6	1,84	8,5	0,5
SAZ14A	114	3	1	39,0	0,1	5,2	0,1	0,8	0,1	1	5,2	0,1	0,2	6,1	10	0,5	1,1	9,0	10000,0	62,8	348	127,5	1109,8	0,9	2000,0	2,4	5,3	252,6	4,80	0,1	15,7
SAZ14B	166	4	1	20,2	0,1	0,5	0,1	0,1	1	10,8	0,1	0,2	5,7	46	0,5	0,5	9,0	10000,0	51,8	470	78,0	749,2	1,7	2000,0	1,6	12,4	254,9	6,33	0,1	11,0	
TS1	16	1	1	15,7	0,4	7,4	0,1	0,9	3,8	4	6,5	0,1	0,2	0,7	26	0,5	3,0	0,7	532,1	10000,0	10000	12,2	13,5	827,2	121,1	0,1	97,1	0,5	50,00	0,1	0,5
TS2	44	1	2	12,8	0,3	0,5	0,1	0,5	2,4	1	44,5	0,1	0,2	0,7	8	0,5	1,7	0,5	1354,9	10000,0	6006	30,7	55,2	10,5	98,2	0,1	100,0	42,3	35,21	0,1	0,6
TS1A	8	1	1	15,8	0,3	7,7	0,1	0,8	2,6	6	2,7	0,1	0,2	0,6	8	0,6	5,5	0,7	642,6	10000,0	10000	13,4	11,2	1088,8	245,0	0,4	100,0	0,5	50,00	0,1	0,5
TS4	118	1	1	6,5	0,4	9,8	0,5	1,3	7,2	4	8,8	0,1	0,7	2,4	8	12,8	14,8	2,8	172,2	10000,0	10000	4,6	49,8	247,7	24,7	0,1	19,9	0,5	50,00	0,1	10,2
TSS	35	1	2	4,6	0,4	0,5	0,1	0,6	3,5	1	67,3	0,1	0,2	0,6	9	1,6	1,7	0,8	234,3	10000,0	491	8,3	482,0	13,7	182,9	1,3	100,0	87,8	38,66	0,1	0,5
SAZ10	91	1	3	6,6	0,2	0,6	0,1	1,0	1,7	1	4,6	0,1	0,4	1,7	14	9,2	4,1	26,4	23,9	390,6	958	139,2	1344,3	2,2	171,1	0,2	1,2	17,0	5,27	7,5	0,5
SAZ28	27	1	1	2,2	0,1	0,5	0,1	0,4	2,0	1	6,7	0,1	1,5	3,6	12	19,2	1,7	16,4	20,0	4180,7	5309	47,9	2768,0	5,8	726,8	1,1	1,7	12,8	1,30	3,1	0,5
SAZ7	22	1	3	11,1	0,1	5,2	0,1	0,1	1	5,8	0,1	0,2	6,0	457	866,0	0,6	23,9	10000,0	6816,3	10000	54,1	4588,0	11,0	1423,5	0,3	2,4	57,6	7,31	3,9	4,4	
SAZ6	130	6	1	5,1	0,9	3,8	0,4	1,2	7,3	1	182,8	0,1	1,5	12,3	33	2,4	12,1	5,6	253,9	19,4	69	46,8	10000,0	0,2	132,7	0,2	0,1	46,9	5,44	0,5	0,5
SAZ18a	6	1	1	2,0	0,1	1,4	0,1	1,1	2,0	2	4,7	0,1	0,2	14,0	8	114,8	3,9	32,7	24,4	19,8	28	171,8	463,8	0,2	586,6	37,7	0,2	18,4	0,35	0,1	0,5
SAZ18b	11	1	1	1,9	0,1	0,6	0,1	0,8	0,3	4	1,5	0,1	0,2	1,8	8	63,7	3,4	23,2	137,3	82,7	149	120,9	306,6	0,2	153,0	82,5	1,9	4800,2	2,46	0,8	1,3
SAZ28	12	1	1	3,0	0,1	1,3	0,1	1,2	2,6	1	6,2	0,1	0,2	23,2	35	233,6	3,5	40,9	20,9	36,4	20	225,2	509,5	0,2	736,6	25,2	0,9	9,8	0,22	0,1	0,5
SAZ26	26	2	6	1,9	0,1	1,8	1,1	2,1	3,7	16	71,5	0,2	0,6	9,6	35	281,9	33,5	21,9	44,6	85,2	57	113,9	465,7	0,3	463,6	35,6	1,0	76,5	0,24	0,1	0,5
SAZ19	17	1	1	3,0	0,1	1,2	0,1	1,3	0,7	1	23,0	0,1	0,2	3,6	8	59,1	4,1	49,2	50,8	9,8	44	247,2	1211,2	0,1	148,9	5,9	0,2	19,6	0,64	0,1	0,5
SAZ20	48	2	1	2,6	1,4	3,7	0,3	0,8	37,2	8	5,0	0,1	1,0	1,2	20	12,3	11,0	19,6	51,8	172,0	153	107,8	127,3	3,7	58,2	46,7	5,8	3885,7	1,15	0,4	0,6

Ba	Sc	Be	Co	Cs	Ga	Hf	Nb	Rb	Sn	Sr	Ta	Th	U	V	W	Zr	Mo	Cu	Pb	Zn	Ni	As	Cd	Sb	Bi	Ag	Au	Hg	Tl	Se
Ba 1,0																														
Sc 0,1 1,0																														
Be 0,2 -0,1 1,0																														
Co 0,3 0,4 -0,2 0,1 1,0																														
Ga 0,2 0,3 0,0 0,3 0,4 1,0																														
Hf -0,1 0,2 0,4 0,2 -0,2 0,1 1,0																														
Nb 0,1 0,2 0,0 -0,1 0,1 0,3 0,7 1,0																														
Rb 0,0 0,1 -0,1 0,1 0,3 0,3 0,5 0,5 1,0																														
Sn 0,2 0,0 -0,3 0,2 0,7 -0,1 0,9 0,7 0,4 1,0																														
Sr 0,1 0,8 0,1 0,0 0,4 0,3 0,5 0,5 0,3 0,1 0,1 1,0																														
Ta 0,1 0,0 0,5 0,0 0,0 0,0 0,0 0,0 0,0 0,0 0,0 0,0 1,0																														
Th -0,1 0,4 -0,1 -0,2 0,0 0,5 0,3 0,2 0,4 0,1 0,6 0,0 1,0																														
U -0,3 0,1 0,0 -0,4 -0,2 -0,1 0,2 0,3 -0,2 0,0 0,2 -0,1 0,0 1,0																														
V -0,1 0,4 -0,1 -0,1 0,4 -0,1 0,4 -0,1 -0,1 0,1 -0,1 0,1 0,0 1,0																														
W -0,1 0,3 -0,4 0,0 0,2 -0,1 0,4 0,3 0,1 0,1 0,1 0,1 0,0 1,0																														
Zr -0,1 0,2 0,7 -0,2 0,2 0,0 0,0 0,0 0,0 0,0 0,0 0,0 0,0 1,0																														
Mo -0,5 -0,5 0,0 -0,6 -0,3 -0,4 -0,1 0,4 -0,1 0,1 -0,3 -0,2 -0,3 0,4 0,1 0,1 1,0																														
Cu 0,4 0,2 0,0 -0,1 0,6 -0,1 0,6 -0,3 -0,6 -0,2 -0,3 0,1 -0,4 0,4 0,1 0,2 -0,4 -0,2 1,0																														
Pb 0,0 0,3 0,1 0,1 0,1 0,0																														
Zn 0,2 0,0 -0,3 0,1 0,1 0,0																														
Ni 0,3 -0,3 0,0 0,3 -0,2 -0,2 -0,2 0,2 0,2 -0,1 -0,1 -0,3 -0,1 0,2 -0,2 -0,3 0,0 -0,2 -0,1 0,5 -0,2 -0,5 -0,5 0,1 1,0																														
As 0,1 0,0																														
Cd 0,2 0,1 0,1 0,1 0,1 0,0																														
Sb 0,1 0,2 0,1 0,0 0,0 0,4 0,2 -0,2 -0,5 -0,3 -0,2 -0,3 -0,1 -0,3 0,2 0,4 0,3 -0,3 -0,1 0,7 0,3 0,3 -0,3 0,0 2,0 1,0																														
Bi 0,3 -0,3 0,0 0,4 0,1 -0,3 0,0 0,5 0,6 0,5 0,5 0,5 0,5 0,0 0,0 0,0 0,0 0,0 0,0 0,0 0,0 0,0 0,0 0,0 0,0 0,0 0,0 0,0 0,0																														
Ag 0,0																														
Au 0,2 -0,1 0,2 -0,2 0,2 0,4 0,1 0,0 0,0 0,5 0,5 0,5 0,5 0,0 0,0 0,0 0,0 0,0 0,0 0,0 0,0 0,0 0,0 0,0 0,0 0,0 0,0 0,0 0,0																														
Hg 0,2 -0,2 -0,2 0,2 0,2 0,5 0,5 -0,1 -0,3 0,0 0,3 0,1 0,6 0,1 -0,1 -0,3 0,1 0,0 0,0 0,6 0,1 0,2 0,2 0,0 0,6 0,0 0,0 0,0 0,0																														
Tl 0,6 -0,2 0,3 0,5 0,0																														
Se 0,1 0,3 -0,2 0,2 0,2 -0,1 0,5 -0,2 -0,4 -0,1 -0,2 -0,1 0,2 -0,3 -0,2 0,0 0,0 0,0 0,0 0,0 0,0 0,0 0,0 0,0 0,0 0,0 0,0 0,0 0,0																														

Şekil 4. Demir cevherleşmelerinden alınan numunelerin iz element korelasyon matrisi

Ba	Sc	Be	Co	Cs	Ga	Hf	Nb	Rb	Sn	Sr	Ta	Th	U	V	W	Zr	Mo	Cu	Pb	Zn	Ni	As	Cd	Sb	Bi	Ag	Au	Hg	Tl	Se		
Ba 1,0																																
Sc 0,8	1,0																															
Be -0,8	-0,6	1,0																														
Co -0,2	-0,4	-0,1	1,0																													
Ga 0,2	-0,5	0,6	0,5	1,0																												
Hf -0,1	0,2	-0,2	0,0	0,0	0,2	0,3	0,2	-0,2	0,2	-0,1	0,1	-0,2	0,1	-0,1	-0,2	0,1	0,1	-0,2	0,1	0,1	0,1	0,1	0,1	0,1	0,1	0,1	0,1	0,1	0,1			
Nb 0,1	-0,2	-0,2	0,0	0,0	0,2	0,2	0,2	-0,2	0,2	-0,1	0,1	-0,2	0,1	-0,1	-0,2	0,1	0,1	-0,2	0,1	0,1	0,1	0,1	0,1	0,1	0,1	0,1	0,1	0,1	0,1			
Rb 0,0	-0,3	0,2	0,7	0,7	0,1	0,7	0,7	0,1	0,7	0,1	0,7	0,1	0,7	0,1	0,7	0,1	0,7	0,1	0,7	0,1	0,7	0,1	0,7	0,1	0,7	0,1	0,7	0,1	0,7	0,1		
Sn 0,5	0,2	-0,3	0,0	0,2	0,2	0,2	0,2	0,2	0,2	0,2	0,2	0,2	0,2	0,2	0,2	0,2	0,2	0,2	0,2	0,2	0,2	0,2	0,2	0,2	0,2	0,2	0,2	0,2	0,2	0,2		
Sr 0,1	-0,2	0,1	0,1	0,1	0,1	0,1	0,1	0,1	0,1	0,1	0,1	0,1	0,1	0,1	0,1	0,1	0,1	0,1	0,1	0,1	0,1	0,1	0,1	0,1	0,1	0,1	0,1	0,1	0,1	0,1		
Th 0,5	0,0	0,2	0,2	0,2	0,6	0,4	0,4	0,4	0,4	0,0	-0,4	1,0																				
U 0,4	-0,2	-0,2	0,2	0,5	0,5	0,7	0,1	-0,1	0,9	0,9	1,0																					
V 0,0	0,1	0,1	0,1	0,1	0,2	0,2	0,2	-0,2	0,2	-0,2	0,2	1,0																				
W 0,0	0,1	0,1	0,1	0,1	0,0	0,0	0,0	0,0	0,0	0,0	0,0	0,0	0,0	0,0	0,0	0,0	0,0	0,0	0,0	0,0	0,0	0,0	0,0	0,0	0,0	0,0	0,0	0,0	0,0	0,0		
Zr 0,4	-0,1	0,0	0,0	0,3	0,7	0,4	0,4	-0,1	0,5	-0,1	0,5	0,1	0,5	0,1	0,5	0,1	0,5	0,1	0,5	0,1	0,5	0,1	0,5	0,1	0,5	0,1	0,5	0,1	0,5	0,1		
Mo 0,1	-0,4	0,1	0,6	0,7	0,7	0,1	-0,1	0,4	-0,4	0,9	0,8	0,2	0,7	0,1	0,7	0,1	0,7	0,1	0,7	0,1	0,7	0,1	0,7	0,1	0,7	0,1	0,7	0,1	0,7	0,1		
Cu 0,1	-0,5	0,3	0,7	0,3	0,1	-0,5	-0,1	-0,4	-0,2	-0,3	-0,3	-0,1	-0,4	-0,2	-0,3	-0,1	-0,4	-0,2	-0,3	-0,1	-0,4	-0,2	-0,3	-0,1	-0,4	-0,2	-0,3	-0,1	-0,4	-0,2		
Pb -0,8	-0,1	0,2	0,7	0,4	0,5	0,5	0,7	0,0	0,0	0,1	0,1	0,3	0,1	0,2	0,1	0,1	0,2	0,1	0,1	0,2	0,1	0,1	0,2	0,1	0,1	0,2	0,1	0,1	0,2	0,1		
Zn 0,4	-0,4	0,0	0,4	0,4	0,2	0,1	-0,1	-0,6	-0,1	-0,2	-0,3	-0,4	-0,2																			